

# Relazione sul Progetto di Sistemi di Simulazione: Analisi della stabilità del protocollo di DHT Symphony

MATTEO BRUCATO e MIRO MANNINO, Università di Bologna

---

Symphony è un protocollo di overlay per sistemi peer-to-peer in grado di mantenere una tabella hash distribuita (DHT) attraverso nodi che risiedono in una rete geografica.

---

## 1. INTRODUZIONE

Symphony [?] è un protocollo per tabelle hash distribuite (DHT) che, attraverso una rete di overlay costruita in base a particolari distribuzioni armoniche, è in grado di garantire lookup efficienti, poli-logaritmici nel numero di hop (salti), ovvero nella sua *latenza*<sup>1</sup>.

Attraverso un concetto denominato *greedy routing*, è stato mostrato come sia possibile indirizzare e consegnare un messaggio ad un qualsiasi nodo in una rete in al più  $O(\log^2 n)$  salti (un fenomeno chiamato anche *Small World*) [?]. Symphony si basa esattamente su questi concetti, i quali vengono applicati magistralmente al caso di reti peer-to-peer e al problema di creare DHT. In particolare, Symphony è in grado di garantire una latenza di  $O(\frac{1}{k} \log^2 n)$  salti, dove  $k = O(1)$  è il numero di link che ogni nodo mantiene verso altri nodi della rete.

Nell'articolo in cui Symphony è stato presentato [?], vengono evidenziati i molteplici vantaggi del protocollo rispetto ai suoi predecessori (Chord, Viceroy, ecc.). Il vantaggio più evidente è quello di richiedere un numero costante  $k = O(1)$  di link verso altri nodi della rete, a differenza di protocolli come Chord [?] che richiedono un numero logaritmico di link uscenti.

Symphony, inoltre, è dimostrato essere *scalabile* nella dimensione della rete, .....

Infine, gli autori dichiarano anche il sistema *stabile*, ovvero capace di funzionare nel caso in cui gli host si uniscano alla rete ed escano dalla rete in maniera del tutto arbitraria, tipicamente con brevi periodi di vita. Ciononostante, un'approfondita analisi dell'articolo mostra come gli esperimenti effettuati per stabilire la stabilità di Symphony offrano solamente una panoramica limitata sui possibili scenari che possano veramente essere fonte di instabilità. I test effettuati non sono tali da stressare il sistema fino ai punti più critici, in cui un'evidente instabilità possa essere misurata.

Lo scopo del presente elaborato è quello di studiare a fondo la stabilità del protocollo Symphony, e di stabilire in maniera più accurata se tale protocollo può essere veramente considerato stabile e in che misura. Più precisamente, ci poniamo l'obiettivo di valutare la stabilità del protocollo sotto carichi di stress causati da *churn*, ovvero da alte frequenze di entrata e uscita dei nodi della rete. Studieremo sotto quali condizioni di stress la stabilità del protocollo vale e in quali condizioni essa comincia a vacillare.

Attraverso una serie di esperimenti in simulazione, mostreremo come il protocollo Symphony risponda molto bene a situazioni di stress causato da *churn* simili a quelle testate dagli autori del protocollo. E' solo con l'ausilio di un *motore di churn* molto sofisticato che siamo in grado invece di stressare il sistema fino a fargli perdere la sua stabilità. I nostri esperimenti, infatti, mostrano che .....

---

<sup>1</sup>In sintonia con la terminologia tipica della letteratura peer-to-peer, indichiamo col termine *latenza* il numero medio di hop per l'operazione di lookup.

La relazione è organizzata nel seguente modo. In Sezione 2 descriveremo brevemente il protocollo Symphony. In Sezione 3 descriveremo formalmente il concetto di stabilità che sarà oggetto di valutazione del protocollo in esame. In Sezione 4, presenteremo i dettagli sul simulatore realizzato, il livello di astrazione del simulatore stesso e dettagli sulla sua realizzazione. La Sezione 5 raccoglierà i risultati sperimentali delle simulazioni, mentre la Sezione 6 illustrerà le nostre conclusioni.

## 2. IL PROTOCOLLO SYMPHONY

Symphony è un protocollo DHT basato su un'overlay strutturato con topologia ad anello. Gli identificatori dei nodi sono selezionati in maniera randomica uniforme nell'intervallo  $[0, 1)$ . Ogni nodo  $p_i$  con identificatore  $x$  gestisce il sotto-intervallo dell'anello  $(y, x]$  se  $y$  è l'identificatore del peer  $p_{i-1}$  immediatamente precedente al peer  $p_i$ . In questo modo ogni valore  $x \in [0, 1)$  è gestito (univocamente) da uno ed un solo peer, che chiameremo il *manager* di  $x$  nel resto della presente relazione.

### 2.1 Collegamenti tra nodi

I nodi della rete Symphony sono collegati tra loro secondo due tipi di link: *short link* e *long link*, ovvero collegamenti a breve e lungo raggio. I collegamenti short servono a creare la struttura ad anello vera e propria: un peer  $p_i$  è collegato per mezzo di due short link ai due peer  $p_{i-1}$  e  $p_{i+1}$  (supponendo sempre aritmetica modulo  $n$ ), ovvero il suo predecessore e il suo successore nell'anello. I collegamenti long, invece, servono a permettere salti a lunga distanza nell'anello, i quali determinano la complessità logaritmica del protocollo di routing di Symphony. I long link sono quindi la caratteristica più importante del protocollo in esame.

Ogni nodo mantiene  $k \geq 1$  long link. La scelta dei peer a cui collegarsi è la peculiarità principale del protocollo Symphony. Ogni nodo, quando deve decidere a chi collegarsi per mezzo di un long link, utilizza un numero randomico  $x \in [0, 1)$  selezionato sulla base di una distribuzione di probabilità appartenente ad una famiglia di distribuzione armoniche, una versione continua della distribuzione discreta di Kleinberg.

### 2.2 Join

Quando un peer vuole entrare nella rete

## 3. ANALISI DELLA STABILITÀ

Nell'articolo originale [?], gli autori Manku et al. testano la stabilità del protocollo Symphony in una cosiddetta *rete dinamica*, ovvero una rete in cui i nodi entrano ed escono arbitrariamente. In particolare, gli autori studiano una rete di centomila nodi, ognuno dei quali ha un numero logaritmico di vicini e alterna uno stato di attività ad uno stato di inattività. I tempi di attività e inattività sono tratti da due distribuzioni esponenziali diverse, tali che i nodi restino attivi per poco tempo (in media mezz'ora) e inattivi per il resto della giornata (23 ore e mezza in media). Le distribuzioni esponenziali fanno sì che la stragrande maggioranza dei nodi rispecchino questo comportamento.

Questo setup rispecchia certamente alcuni scenari veritieri di utilizzo dei sistemi DHT. I nodi entrano nella rete una volta al giorno e vi rimangono per pochissimo tempo (forse il tempo necessario per fare una semplice ricerca e scaricare uno o due file). Ciononostante non è certamente atto a coprire la maggioranza dei casi di utilizzo possibili, specialmente quelli in cui la rete venga stressata in maniera molto più pesante. Si pensi ad esempio ad un utilizzo di una DHT da parte di altri sistemi, in sistemi distribuiti integrati fra loro. In tali situazioni, non si può fare nessuna supposizione né sugli orari di utilizzo, né sulla durata d'utilizzo o sulla frequenza di entrata nella rete.

Non solo lo scenario usato nei test dagli autori di Symphony prevede una frequenza di entrata e uscita piuttosto basse, ma gli autori assumono anche una crescita della rete molto controllata. Nei

loro test, infatti, essi fanno crescere la rete in maniera lineare durante l'arco di una giornata. Alla fine della prima giornata, tutti i centomila nodi sono entrati nella rete, e vi rimangono durante tutto l'arco della giornata successiva. Durante il terzo giorno, invece, i peer vengono fatti uscire dalla rete a intervalli regolari. Non siamo riusciti ad immaginare, in questo caso, un esempio di utilizzo reale che rispecchi questo particolare test. Ma soprattutto, ancora, questo test non è atto a stressare la rete con un'adeguata frequenza di churn, o in casi di altissima e imprevedibile attività.

Infine, i test riguardanti la stabilità presenti nell'articolo considerano solo reti senza re-linking. Reputiamo molto interessante stabilire cosa accade in una rete sotto churn nel caso in cui il re-linking sia attivo, in quanto esso forza molti peer a distruggere e ricreare tutti i propri long link, i quali sono quelli che contribuiscono maggiormente alle performance del protocollo stesso.

### 3.1 Modello di stabilità

Il modello di stabilità che vogliamo considerare nel presente elaborato è più complesso e a grana più fine di quello utilizzato nel paper originale. Innanzitutto, osserviamo come il tempo di permanenza di un certo peer nella rete è ininfluente rispetto la misura di stabilità della rete. Sapere che un peer sta nella rete per mezz'ora o per un giorno non fa alcuna differenza. Ciò che può maggiormente influire sulla stabilità è il fatto che una grande quantità di peer chiedano un lookup mentre la rete è in fase di creazione a seguito di *join* (entrate) e *leave* (uscite) dei peer.

L'ipotesi alla base dei nostri test è che durante i join (e/o i leave) l'anello di Symphony possa avere potenziali punti di inefficienza dati dal fatto che i peer che stanno entrando non hanno ancora terminato la fase di linking necessaria alla rete per funzionare nei tempi logaritmici. Aumentare il numero di peer che fanno join o leave per istante di tempo dovrebbe quindi evidenziare tale inefficienza nelle misurazioni delle latenze dei lookup.

Ciò che quindi sembra poter avere un impatto più preponderante sulla stabilità non è il tempo di permanenza del singolo peer, ma la *frequenza del fenomeno di churn* (sia esso di leave o di join). Il nostro modello, quindi, prevede di potere valutare la stabilità del sistema al variare della frequenza di join e/o di leave nel sistema.

Questo approccio offre anche numerosi vantaggi in termini di flessibilità nei test. .... [poter concentrarci sulla frequenza di churn ignorando dettagli come tempo di permanenza, orario di entrata e uscita, effettiva grandezza della rete ad ogni istante di tempo permettono di effettuare test di stabilità più generali]

### 3.2 Misurare la stabilità

Una buona rete peer-to-peer senza struttura garantisce in generale che un lookup non richieda un numero di salti maggiore del numero di nodi della rete. Nel caso pessimo, infatti, la rete invia il messaggio di lookup a tutti i peer della rete finché il peer destinatario non viene contattato. L'upper bound del lookup è cioè  $O(n)$  per qualunque rete peer-to-peer non banale.

Una rete strutturata come Symphony, in generale, garantisce molto meglio: un upper bound logaritmico nel numero di salti necessari ad un singolo lookup. Ciononostante, se  $n$  peer dovessero entrare tutti contemporaneamente, prima che la rete sia riuscita a creare la struttura necessaria a garantire l'upper bound teorico, le prestazioni potrebbero essere molto peggiori del previsto, fino al caso pessimo di lookup in  $O(n)$  salti, come nel caso di rete senza struttura.

Bisogna inoltre considerare che l'upper bound teorico non corrisponde per forza al numero di hop necessari, e può essere anche molto più alto (pessimistico) rispetto a ciò che avviene nella realtà. Una buona struttura e un buon protocollo possono, in media, garantire numero di salti molto minori dell'upper bound teorico.

Ciononostante, è plausibile aspettarsi che uno stress maggiore o minore del sistema possa modifica-

re, in media, il numero effettivo di salti necessari al processamento dei lookup. Ciò potrebbe portare le prestazioni del sistema ad essere nella media più vicine all'upper bound teorico. Nel seguito ci riferiamo a questo trend, se presente e misurabile, come una forma di *instabilità* di un protocollo di lookup. Di contro, un sistema è più stabile tanto più le sue prestazioni rimangono eguali indipendentemente dallo stress momentaneo subito dal sistema, e tanto più il numero di salti dell'algoritmo di lookup misurati sperimentalmente si discosti dall'upper bound teorico. Tale stress è caratterizzato, come detto in precedenza, dalla frequenza di join o di leave dei peer della rete.

Introduciamo quindi, ai fini della nostra analisi, le seguenti definizioni di *stabilità*: (1) la stabilità di un singolo lookup, (2) la stabilità di una serie di misurazioni di lookup, e infine la (3) stabilità di un protocollo di DHT.

**Definition 3.1. (STABILITÀ DI UN LOOKUP)** Dato un certo protocollo DHT e una misurazione relativa ad un singolo lookup  $(h, n)$  dove  $h$  è il numero di hop (salti) del lookup e  $n$  è il numero di peer presenti nella rete all'istante della terminazione del lookup, la stabilità del lookup è definita come:

$$s(h, n) = 1 - \frac{h}{n}$$

L'instabilità di un singolo lookup è data da  $\frac{h}{n}$  se  $h$  è il numero di hop del lookup e  $n$  il numero di nodi al momento presenti nella rete. Infatti, più  $h$  si avvicina ad  $n$ , più tale numero si avvicina ad 1, più significa che il numero effettivo di hop si avvicina all'upper bound teorico e quindi alla nostra idea intuitiva di instabilità. La stabilità, così come appena definita, quindi è data dall'opposto della instabilità, ovvero  $1 - \frac{h}{n}$ .

La stabilità di una singola misurazione è zero nel caso in cui  $h = n$ , ovvero nel caso di massima instabilità, data da una rete in cui il protocollo DHT ha perso la sua capacità di garantire un lookup logaritmico in quanto l'effetto del churn ne ha distrutto le proprietà fondamentali. La stabilità non può mai essere minore di zero, in quanto  $O(n)$  è l'upper bound dei singoli lookup, come descritto in precedenza, ovvero  $h \leq n$ . Essa è uguale ad 1 nel caso in cui il numero di hop effettivi sia zero (ad esempio, il file ricercato si trova nel nodo stesso che lo sta cercando). Non può essere maggiore di 1 poiché sia  $h$  che  $n$  sono sempre numeri positivi. Pertanto, vale il seguente lemma:

**LEMMA 3.2. CARATTERIZZAZIONE DELLA STABILITÀ**

$$0 \leq s(h, n) \leq 1$$

Dato un insieme di misurazioni su diversi lookup, definiamo la stabilità delle misurazioni come la media delle stabilità misurate:

**Definition 3.3. (STABILITÀ DI UN INSIEME DI MISURAZIONI)** Dato un certo protocollo DHT e un insieme di  $r$  misurazioni della funzionalità di lookup  $H = \{h_1, h_2, \dots, h_r\}$ , dove  $h_i$  è il numero di hop (salti) relative all' $i$ -esimo lookup, e dato un insieme di  $r$  misurazioni  $N = \{n_1, n_2, \dots, n_r\}$ , tale che  $n_i$  corrisponde al numero di peer presenti nella rete alla fine dell' $i$ -esimo lookup, la *stabilità* del protocollo è definita come:

$$stability(H, N) = \frac{\sum_i s(h_i, n_i)}{r} = 1 - \frac{\sum_i h_i/n_i}{r}$$

Diciamo che un protocollo è stabile se la sua stabilità, così come appena definita, non varia di molto al variare delle condizioni di stress della rete causate dai fenomeni di churn più o meno frequenti. In altre parole, utilizziamo la seguente definizione:

**Definition 3.4. (STABILITÀ DEL PROTOCOLLO)** Sia dato un certo protocollo DHT e un insieme di  $R$  insiemi di misurazioni  $M = \{(H_1, N_1), (H_2, N_2), \dots, (H_R, N_R)\}$  tale che ogni insieme di misurazioni

$(H_i, N_i)$  sia stato effettuato ad un certo livello di stress della rete dato da una certa frequenza  $f_i$  di churn. Sia  $S(M) = \{stability(H_1, N_1), stability(H_2, N_2), \dots, stability(H_R, N_R)\}$ . Il protocollo è detto essere *stabile* sse

$$2 \cdot \text{Std}[S(M)] \leq \epsilon$$

per un certo  $0 \leq \epsilon \leq 1$ .

Si noti che, visto che la stabilità è un valore compreso tra 0 e 1,  $\text{Std}[S(M)]$  può essere al massimo  $1/2$ , il che giustifica il fattore moltiplicativo 2 presente nella definizione. Intuitivamente, la presente definizione di stabilità è parametrica rispetto ad un requisito di stabilità  $\epsilon$ . Se  $\epsilon = 1$ , qualsiasi protocollo è stabile, se  $\epsilon = 0$  un protocollo è stabile solo se la stabilità è totalmente indipendente dalla frequenza dei churn, ovvero se il numero di hop rispetto alla grandezza della rete è sempre lo stesso indifferentemente da quanti nodi entrano o escono dalla rete per unità di tempo.

Il requisito di stabilità  $\epsilon$  può essere settato liberamente a seconda dei requisiti di stabilità del protocollo, e dipende quindi maggiormente dal campo applicativo specifico della DHT. Se un protocollo è stabile per un certo  $\epsilon'$ , allora è stabile per ogni  $\epsilon'' \leq \epsilon'$ . Un problema interessante in questo contesto è quindi stabilire  $\epsilon^*$ , ovvero il minimo valore di  $\epsilon$  per cui il protocollo è stabile. Nel paragonare la stabilità di due protocolli DHT, quindi, si possono utilizzare proprio i loro rispettivi valori di  $\epsilon^*$ . Il protocollo con  $\epsilon^*$  minore è più stabile in quanto la sua stabilità è meno dipendente dalla frequenza dei churn.

## 4. IL SIMULATORE E IL LIVELLO DI ASTRAZIONE

### 4.1 Strumenti utilizzati

Lo studio di simulazione è stato realizzato mediante l'uso del simulatore Omnet++ 4.2.2[?]. Quest'ultimo è una libreria (ed anche un framework) per creare simulazioni, utilizzando C++, che permette di eseguire simulazioni complesse in tempi ragionevoli. La struttura modulare di Omnet++ ha poi favorito la realizzazione della simulazione in esame, suddividendo le varie componenti in modo da poterle gestire limitandone la complessità. Le simulazioni sono state compilate ed eseguite in due diverse architetture: Linux e Mac OS X. Ciò ha favorito anche la stesura di un codice più robusto, in grado di gestire le diversità dei due sistemi operativi, che malgrado simili tra loro, riportano leggere differenze che evidenziano errori differenti.

Rispettando le convenzioni di Omnet++, il protocollo simulato è stato realizzato mediante l'uso di:

- File 'NED' per modellare le varie componenti, come la rete, i peer, i canali di comunicazione ed il churning.
- File 'msg' che definiscono i vari messaggi che i vari peer possono mandarsi.
- File sorgenti, contenenti le classi che implementano i vari moduli descritti nei file NED.
- File 'omnet.ini', che permette di configurare ogni run in modo parametrico.

Le analisi dei dati di ogni simulazione sono state poi effettuate sia con gli stessi strumenti messi a disposizione da Omnet++, che da piccoli script appositamente progettati per filtrare e modificare i dati grezzi, in modo da poterli poi rappresentare graficamente mediante l'uso di gnuplot.

Inoltre, le librerie grafiche messe a disposizione, hanno permesso di rappresentare in maniera graficamente efficace la rete di overlay, evidenziando i vari peer con i loro collegamenti, ed i vari messaggi scambiati.

### 4.2 Simulazione

La simulazione è costituita da una rete, costituita da una serie di peer collegati tra loro attraverso dei canali di comunicazione, e da un churning.

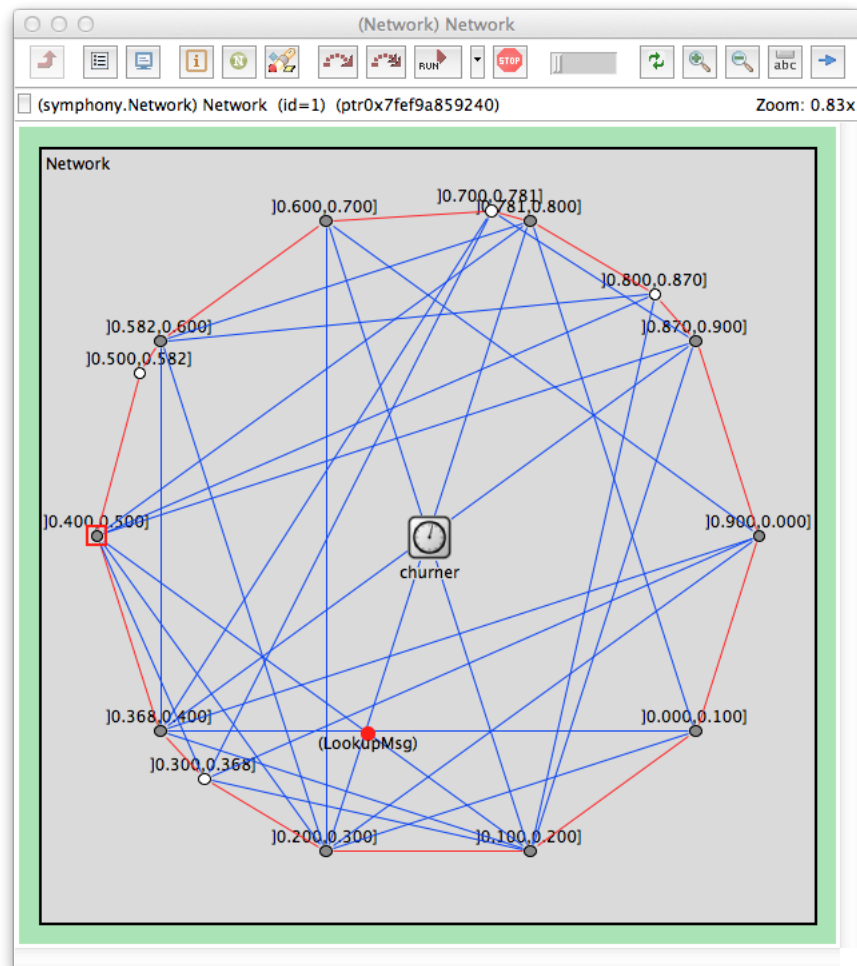


Fig. 1. Una screenshot della simulazione. Possiamo notare i long link colorati di blu ed i short link colorati di rosso. I nodi più scuri sono i peer statici, mentre quelli più chiari sono quelli dinamici. Ogni peer ha poi una label che indica il range di valori che vengono amministrati da tale nodo.

La rete funge da contenitore per tutta la simulazione, e detiene alcuni parametri fondamentali, come quelli che stabiliscono la composizione della rete. Questa poi definisce i canali presenti nella rete, definiti con un delay di 100ms e con un bandwidth di 10Mbps.

Il peer rappresenta invece un generico nodo della rete. Questa mantiene alcune informazioni per distinguersi:

- Un  $id \in [0, 1]$ , che identifica univocamente il peer all'interno della rete di overlay Symphony.
- Un canale di comunicazione verso il nodo precedente, ed un altro per il successivo. Questi costituiscono ciò che in Symphony vengono chiamati *short link*.
- Un array di canali di comunicazione, che comunicano con peer arbitrari. Questi costituiscono ciò che in Symphony vengono chiamati *long link*.

Inoltre ogni peer può contare su una serie di parametri che sono identici per ogni peer, che delineano il loro comportamento finale, in modo parametrico.

- Il parametro  $k$ , che costituisce il numero di long link che il peer deve provare a fare.
- Un parametro per stabilire il numero di tentativi che il peer è disposto a fare per costruire i long link. Ciò viene accuratamente descritto nell'articolo originale di Symphony.
- Uso o meno del relinking.

Ogni peer poi può essere utilizzato, all'interno della simulazione, in due modi piuttosto differenti: in maniera statica ed in maniera dinamica.

4.2.0.1 *Peer statico*. Il peer statico viene inserito all'interno della rete in maniera automatica, prima che la simulazione abbia inizio. Tali nodi non possono uscire (e tantomeno entrare) dalla rete di Symphony. Pertanto, gli short link vengono creati direttamente utilizzando i costrutti dei file NED, messi a disposizione da Omnet++, collegando ogni coppia di nodi adiacente con gli short link. Per i long link invece, il potere espressivo troppo debole di tali costrutti non consente di creare anche i long link. Con tali costrutti, questi possono comunque essere creati con una buona approssimazione, ma non si garantirebbe l'assenza di conflitti (i.e. uno short link collega due nodi già connessi), e tantomeno non si garantirebbe lo stesso procedimento per la loro creazione (i.e. massimo numero di tentativi per la loro creazione, che permette di risolvere quelle situazioni dove la rete è satura). $k$

(scrivere della fase transiente, warmup-period)

## 5. RISULTATI

## 6. CONCLUSIONI